

無綫電量測技術基礎

下 册

成都電訊工程學院選編

北京科學教育編輯室

1962.5.

目 录

第十一章 頻率的測量

§ 11-1 电桥法	3
§ 11-2 比較法	5
§ 11-3 諧振法	12
§ 11-4 計數法	18
§ 11-5 頻率標準及其新成就	24
§ 11-6 利用頻率標準的頻率精密測量法	28
§ 11-7 毫米波段中波長的測量	30

第十二章 电路元件参数的測量

§ 12-1 具有集中參數阻抗的基本測量方法	33
(一) 直接測量法	33
(二) 电桥測量法	36
(三) 諧振法	47
§ 12-2 具有分布參數系統的阻抗的測量方法	58
(一) 开路法和短路法	59
(二) 測量線法	60
(三) 比較法	67
(四) 自動法——阻抗圖示儀	69

第十三章 波形的測量

§ 13-1 引言	72
§ 13-2 非直線性系数的測量	72
§ 13-3 諧波分析仪	77
§ 13-4 已調波参数的測量	84

第十四章 衰減量的測量

§ 14-1 超高頻傳輸線的衰減量的測量方法的綜述和比較	95
(一) 功率比的直接測量法	95
(二) 替代法	97
(三) 利用駐波效應來測量衰減量的方法	100
§ 14-2 非常小的衰減量的測量方法	102
§ 14-3 空腔諧振器品質因數的測量	104

第十五章 超高頻介質的測量

§ 15-1 概述	110
§ 15-2 諧振法	111
§ 15-3 測量線法	116
§ 15-4 在自由空間中介質常數和損耗角的測量	117

第十六章 電場強度及干擾的測量

§ 16-1 概論	120
§ 16-2 電場強度的測量	123
§ 16-3 無線電干擾的測量	129

第十七章 噪聲的測量

§ 17-1 噪聲和噪聲系數	131
§ 17-2 測量噪聲系數的特點和要求	135
§ 17-3 噪聲系數的測量方法	135

第三篇 無線電測量的某些應用

第十八章 非電參量變換成電參量

§ 18-1 概論	140
§ 18-2 對變換器的基本要求	141
§ 18-3 變換器的分類	141
§ 18-4 電阻式變換器	142
§ 18-5 電感變換器	146
§ 18-6 電容變換器	147
§ 18-7 電離變換器	148
§ 18-8 電勢變換器	154
§ 18-9 電參量的檢取	160
§ 18-10 利用被檢驗件對電磁波的作用來確定被檢驗件的非電參量	162

參考文獻目錄

目 录

第十一章 頻率的測量

§ 11-1 电桥法	3
§ 11-2 比較法	5
§ 11-3 諧振法	12
§ 11-4 計數法	18
§ 11-5 頻率標準及其新成就	24
§ 11-6 利用頻率標準的頻率精密測量法	28
§ 11-7 毫米波段中波長的測量	30

第十二章 电路元件参数的測量

§ 12-1 具有集中參數阻抗的基本測量方法	33
(一) 直接測量法	33
(二) 电桥測量法	36
(三) 諧振法	47
§ 12-2 具有分布參數系統的阻抗的測量方法	58
(一) 开路法和短路法	59
(二) 測量線法	60
(三) 比較法	67
(四) 自動法——阻抗圖示儀	69

第十三章 波形的測量

§ 13-1 引言	72
§ 13-2 非直線性系数的測量	72
§ 13-3 諧波分析仪	77
§ 13-4 已調波参数的測量	84

第十四章 衰減量的測量

§ 14-1 超高頻傳輸線的衰減量的測量方法的綜述和比較	95
(一) 功率比的直接測量法	95
(二) 替代法	97
(三) 利用駐波效應來測量衰減量的方法	100
§ 14-2 非常小的衰減量的測量方法	102
§ 14-3 空腔諧振器品質因數的測量	104

第十五章 超高頻介質的測量

§ 15-1 概述	110
§ 15-2 諧振法	111
§ 15-3 測量線法	116
§ 15-4 在自由空間中介質常數和損耗角的測量	117

第十六章 電場強度及干擾的測量

§ 16-1 概論	120
§ 16-2 電場強度的測量	123
§ 16-3 無線電干擾的測量	129

第十七章 噪聲的測量

§ 17-1 噪聲和噪聲系數	131
§ 17-2 測量噪聲系數的特點和要求	135
§ 17-3 噪聲系數的測量方法	135

第三篇 無線電測量的某些應用

第十八章 非電參量變換成電參量

§ 18-1 概論	140
§ 18-2 對變換器的基本要求	141
§ 18-3 變換器的分類	141
§ 18-4 電阻式變換器	142
§ 18-5 電感變換器	146
§ 18-6 電容變換器	147
§ 18-7 電離變換器	148
§ 18-8 電勢變換器	154
§ 18-9 電參量的檢取	160
§ 18-10 利用被檢驗件對電磁波的作用來確定被檢驗件的非電參量	162

參考文獻目錄

第十一章 頻率的測量

在无线电技术中涉及到的頻率范围极其寬闊，它从几分之一赫开始直到數千万兆赫的頻率，在这一整个頻譜中可以划分为下列具有不同特性的几个頻段：音頻（20千赫以下）、超音頻（20~100千赫）、射頻（100千赫~300兆赫）、超高頻（300兆赫以上）。不同的頻段要求不同的測量精确度，因而所选用的測量方法也完全不相同，不过測量原理还是一样的，而当頻率增高时，主要是測量設備元件的結構形式有所变化而已，因此我們还是按測量的方法来划分，測量頻率的方法基本上可以分为：电桥法、比較法、諧振法、計數法。但到了毫米波段在測量方法上又有其許多特殊之点，这将在本章最后給予討論。

§ 11-1 电 桥 法

測量頻率的电桥法是基于电桥平衡时，頻率和电桥电路元件的参数有关的理論作成的。最简单的电桥如图 11-1 所示，电桥平衡时必須滿足下列条件：

$$R_1 \left(\frac{1}{\frac{1}{R_4} + j\omega_x C_4} \right) = R_3 \left(R_2 + \frac{1}{j\omega_x C_2} \right)$$

其中 $\omega_x = 2\pi f_x$, f_x 是被測頻率，变换后可得

$$\begin{aligned} \frac{R_1}{R_3} &= \left(R_2 + \frac{1}{j\omega_x C_2} \right) \left(\frac{1}{R_4} + j\omega_x C_4 \right) \\ &= \frac{R_2}{R_4} + \frac{C_4}{C_2} + j \left(\omega_x R_2 C_4 - \frac{1}{\omega_x R_4 C_2} \right) \end{aligned}$$

既然电桥平衡，则上面等式的实数部份和虛数部份應該分別对应相等，即滿足模数平衡和相角平衡条件，由此可得：

$$\frac{R_1}{R_3} = \frac{R_2}{R_4} + \frac{C_4}{C_2} \quad (11-1)$$

$$\omega_x R_2 C_4 - \frac{1}{\omega_x R_4 C_2} = 0 \quad (11-2)$$

从 (2) 式可以得到

$$f_x = \frac{\omega_x}{2\pi} = \frac{i}{2\pi\sqrt{R_2 R_4 C_2 C_4}}$$

如果 $R_2 = R_4 = R$

$C_2 = C_4 = C$

則被測頻率将为：

$$f_x = \frac{1}{2\pi R C}$$

如果电容器 C 是固定电容器，而电阻 R_2 、 R_4 是可变的，则改变电阻就可在电桥平衡的

情况下读出频率 f_x , R_2 和 R_4 需要安装在同一轴上保证 R_2 和 R_4 的变化在任何情况下都能同步, 即 R_2 总是和 R_4 相等, 而在可变电阻 R_2 和 R_4 的刻度盘上可以用频率来进行刻度。

利用谐振电桥亦可测量频率, 其电路图示于图 11-2, 当调节 C 到与被测频率谐振时, 电桥臂 4 变成一个纯电阻, 并且调节 R_2 , 当 $R_2=R_4$ 时, 电桥平衡, 此时 $\omega_x L = \frac{1}{\omega_x C}$, 因此可得 $f_x = \frac{1}{2\pi\sqrt{LC}}$, 这里电感量 L 为固定的已知值, 而电容 C 的刻度则可以按频率来刻度。

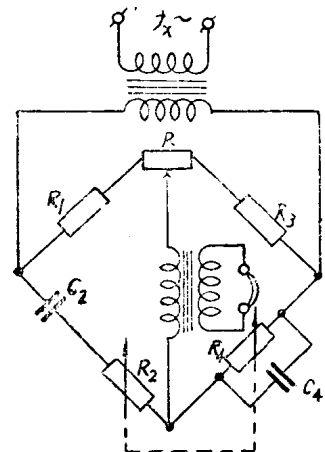


图 11-1 测量频率的电桥电路

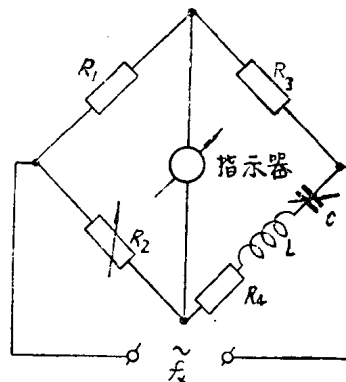


图 11-2 谐振电桥电路

还可以用双 T 型电桥来测量频率, 电路图见图 11-3, 电桥的工作原理将在下一章讨论。电桥的平衡条件是:

$$R_2^2 C_2 C_1 \omega_x^2 = 2$$

$$2R_2 = \frac{1}{\omega_x^2 C_1^2 R_1}$$

如果选择电桥元件, 使 $R_2=2R_1$ 及 $C_2=2C_1$, 则其两个平衡条件合而为一, 得到:

$$f_x = \frac{\omega_x}{2\pi} = \frac{1}{2\pi R_2 C_1} = \frac{1}{2\pi \cdot 2R_1 C_1}$$

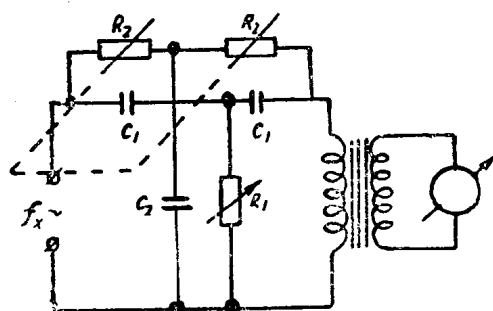


图 11-3 双T 电桥电路

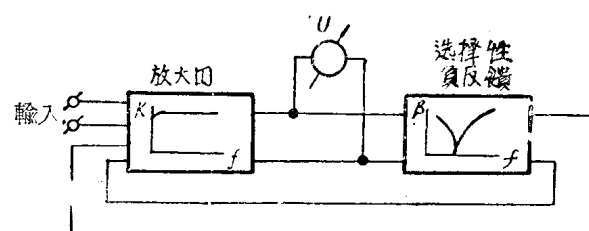


图 11-4 具有负反馈的 RC 选择性电桥的频率计
(K—放大系数; β—负反馈系数)

如果保持电容 C_1 和电阻 R_2 不变，改变 R_1 就可以使电桥平衡，因而电阻 R_1 的改变可以按频率来刻度。而改变 R_2 就可以改变频率的量程。

用电桥法测量频率的误差约为 $0.5\sim1\%$ ，如果被测频率的电压含有谐波成份，则上述电桥平衡起来就比较困难。利用具有负反馈的 RC 选择电桥就可以克服这一缺点其电路示于图 11-4。

被测频率的电压加到放大器的输入端、电子管伏特计接在放大器的输出端，和 RC 选择性电桥的输入端并接。如果加到 RC 电桥输入端的电压频率准确地等于电桥平衡时的谐振频率，则负反馈电压等于零，放大器具有最大的放大量，而电子管伏特计指示出最大的电压值。如果被放大的电压频率和电桥的谐振频率不一样，则电桥的电源电压的频率和谐振频率相差越大，负反馈电压也就越高。由于负反馈对放大器作用的结果，将降低放大器的输出电压，这样以来，用来调谐 RC 电桥的元件可以按频率刻度。

采用电桥法测量频率时有以下缺点：

1. 被测频率范围有限，只能用于音频测量，因为被测信号源总是有一端接地，而作为电桥平衡指示器的电子管伏特计也有一端是接地的，如果信号源直接接到电桥的一对角线上，则电桥必然有一臂被短路掉，因此被测频率信号源和电桥之间必须用变压器耦合，一般都是采用有导磁体铁芯的变压器，当频率大于 10 千赫时不可能得到理想的频率特性曲线，因此导磁体限制了电桥法测量频率的范围不超过 $10KC$ 。

2. 当测量的信号电压为非正弦波形时，电桥很难准确地建立平衡，采用图 11-4 具有选择性电桥的频率计时可以克服这一缺点。

虽然有这些缺点，但由于使用电桥法测量频率时既简单又方便，因此在测量音频范围的频率时仍然得到了广泛的运用。

§ 11-2 比 较 法

(一) 利用拍频现象来比较两个音频频率

把标准频率 f_s 和被测频率 f_x 同时加到线性元件（如耳机，电压表等）上，（如图 11-5 所示），如果 f_x 非常接近于 f_s ，则可以从耳机上听到拍频。线性迭加以后，合成电压的振幅是时间的余弦函数，振幅的变化和频率 f_x 及 f_s 有关。

如果 $f_x=1000$ 赫， f_s 和 f_x 相差 5 赫，这两个频率的电压线性迭加在耳机上，由耳机可以听到每秒钟强弱变化五次的“嗡……”的声音（它的频率实际为 1000 赫）如果用电压表则可以看到指针每秒钟摆动五次。如果 f_s 刚好等于 f_x ，则耳机上只能听到一种声音——频率为 1000 赫的声调。

如果 f_x 和 f_s 都很稳定的话，则利用比较法的拍频法来测量频率时，误差可以小到小于一赫。但是这种方法只能适用于被测频率低于 15000 赫以下，频率太高时，耳机中听不到声音。

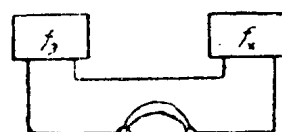


图 11-5 利用差拍比较两个音频的示意图

(二) 利用电子示波器来比較两个音頻頻率

利用电子示波器可以把被測頻率和標準頻率進行比較，如圖 11-6 所示。被測頻率 f_x 加到示波器的一對偏轉板上，而標準頻率訊號電壓加到示波器的另一偏轉板上。如果 f_x 和 f_s 的頻率成一整數比，則在螢光屏上就能看到一固定不動的李沙育圖形。根據李沙育圖形，我們就可以確定出 f_x 和 f_s 之間的比例關係。例如在垂直偏轉板上加上頻率 f_x 的電壓，在水平偏轉板上加上頻率 f_s 的電壓，如果出現圖 11-7(a)的圖形，則由於在水平方向作一直線與圖形相交於 3 點，在垂直方向作一直線和圖形相交於兩點，所以 $\frac{f_x}{f_s} = \frac{3}{2}$ ，即 $f_x = \frac{3}{2} f_s$ ，

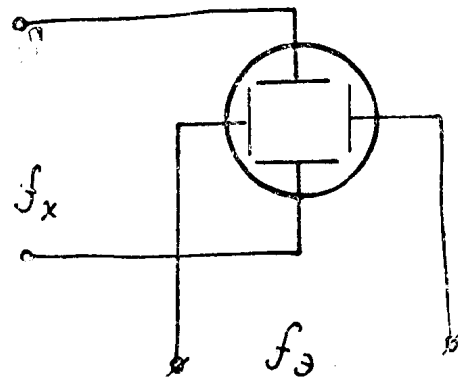


圖 11-6 利用示波器來比較頻率

用同樣的方法可以推出圖 11-7(d)的頻率比 $\frac{f_x}{f_s} = \frac{4}{3}$ ，圖 11-7(e)的頻率比為 $\frac{f_x}{f_s} = \frac{5}{2}$ 。

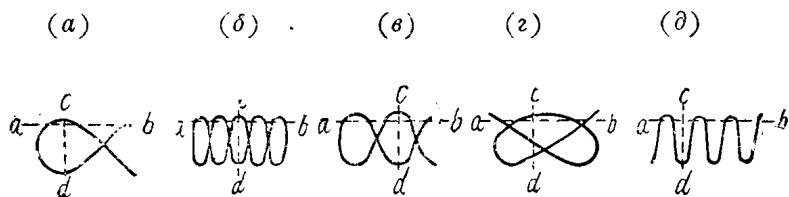


圖 11-7 頻率關係複雜時所得到的李沙育圖形

用上述方法測量頻率時，只要 f_s 很準確，則測量的準確度是很高的。但是如果頻率比大於 $10/1$ ，則利用李沙育圖形來確定頻率比是比較困難的，因為這時圖形很複雜，而且要得到固定不動的圖形就要求兩個電壓的頻率非常穩定。由於電壓不可能非常穩定，因此圖形就可能會轉動，例如 f_x 和 f_s 都是 1000 赫，頻率穩定度為 10^{-4} ，則頻率的絕對變化為 0.1 赫，李沙育圖形也就以 0.1 赫的頻率轉動。如果圖形非常複雜，那就很難數清楚交點的數目了。如果用約為 100 千赫的兩個頻率進行比較，頻率穩定度仍然是 10^{-4} ，則李沙育圖形就以每秒 10 赫的頻率轉動，根本無法看清楚圖形。所以這種方法只能用在音頻或低射頻範圍進行測量。

為了更方便地來確定兩個頻率之比，可以採用圓掃描法，把標準頻率的電壓經過 RC 移相器加到兩對偏轉板上見圖 11-8，這樣兩對偏轉板上電壓的頻率相等而相位相差 90° ，根據李沙育圖形的原理在螢光屏上應該得到一個圓（或橢圓）。

被測頻率 f_x 的電壓加到第二陽極上，使第二陽極上的電壓按照頻率 f_x 起伏變化，由於電子束管的靈敏度取決於第二陽極電壓，因此在原來以 R 為半徑的圓上疊加上被測訊號頻率的變化——半徑 R 在 $R_1 R_2$ 之間按照頻率 f_x 起伏變化如圖 11-9 所示，如果 f_x/f_s 為一個整數比，則這個圓就不動了， f_x/f_s 就等於齒數。這種方法實際上很少採用，因為這要求

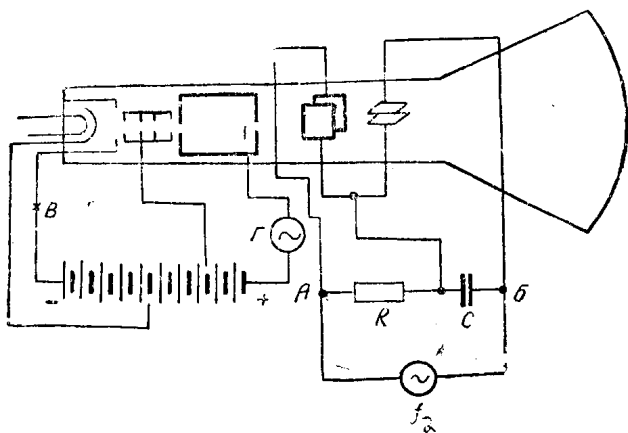


图 11-8 利用示波器比較頻率的电路方案之一

被測頻率電壓必須很大，否則無法在圓上看到齒形；同時一般示波器的第二陽極電壓都沒有在面板上安裝有引出的接線柱；再方面由於陽極電壓 U_{a2} 變化使電子束的聚焦狀態被破壞，產生散焦。因此被測頻率的電壓一般不是加在 U_{a2} 上，而是加到調制柵極上面（如圖 11-8 中的 B 点），在被測電壓處於負半周時，調制柵極由於電壓過負而把電子束熄滅，在正半周時，電子束加強，於是螢光屏上的圓受到亮度調制，根據圓上的亮點數目可以讀出頻率比 f_x/f_s 。如果 f_x/f_s 為一正整數，則圖形不動。這樣的測量方法叫做柵極調亮法，其必要條件是

$$f_x > f_s。$$

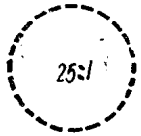


图 21-10 在电子束管的调制极上加有被测频率的电压时，在萤光屏上所得到的图形

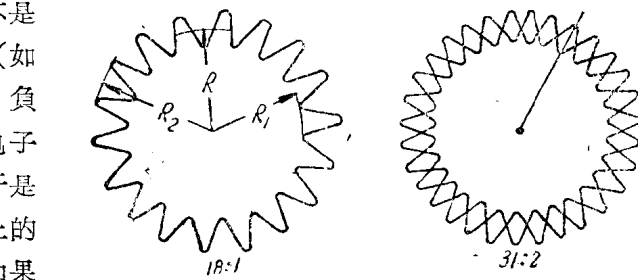


图 11-9 被測頻率的電壓加在電子束管的陽極時，在螢光屏上得到的圖形

頻率比 $\frac{f_x}{f_s} = \frac{k}{n}$ ，這裡 k —亮點數， n —整數，決定於 f_x 的大略值。如果 f_x 為 f_s 的幾倍，則 $n=1$ ，亮點數即為比值 f_x/f_s ，如圖 11-10。

總之，用示波器來比較兩個頻率，只能在音頻或低射頻範圍內進行。

(三) 零 拍 法

上面所討論的兩種比較法都只能應用在音頻或低射頻範圍內進行測量，如果要測量射頻段的頻率，則可以採用零拍法以及後面幾節中將要討論到的其他方法。

用零拍法來比較兩個射頻頻率的最簡單的方法就是把兩個射頻訊號 f_x 和 f_s 的電壓加到線圈 L_1 和 L_2 上，經過非線性元件檢波以後，接上耳機來聽，如圖 11-11(a)所示。

檢波出來的訊號包含有頻率為 f_x 、 f_s 、 $f_x \pm f_s$ 、 $nf_s \pm mf_s$ ，以及 f_x 和 f_s 的諧波成分，但在此我們所感興趣的是 $|f_x - f_s|$ 。當 $|f_x - f_s|$ 处在音頻範圍內時，就能在耳機中

听出来，当 $|f_x - f_s|$ 小于20赫或15赫以下时耳朵就听不出声音来，即在图11-11(δ)中在 $f''_s - f'''_s$ 这一段频率范围内都可称之为零拍。但真正的零拍点是图11-11(δ)中的A点，此时 f_x 才真正等于 f_s 。所以采用零拍法测量的绝对误差为30~40赫，但如果有牵引现象存在，则误差会大大增加。

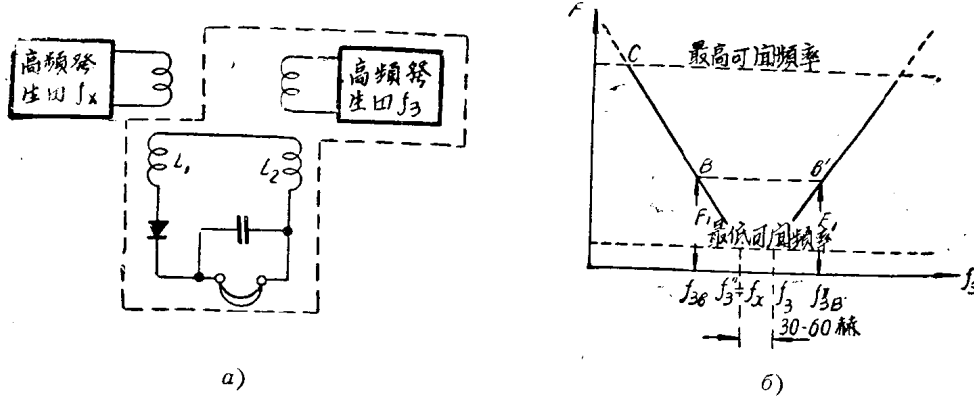


图 11-11 考虑到可闻频率下限的差频变化曲线

所谓牵引现象，就是当 f_x 还没有等于 f_s 而接近于 f_s 时，如果被测信号源功率很大，则 f_s 被迫等于 f_x ，此时耳机中听到的不是 $|f_x - f_s|$ ，而是零拍声。如果两个信号源之间耦合很弱，则可以削弱或消除牵引现象，因此图11-11(a)中所表示的两个信号源要进行屏蔽（如虚线表示）。

如果要使零拍点更精确一些，则可以采用电流计来代替耳机，当 $|f_x - f_s| = 1\text{--}3$ 赫时，电流计的指针已有偏转。

当被测频率很高时，用图11-11的方法，不论用耳机或电流计来指示零拍都是非常困难的，此时必须改用图11-12的办法。

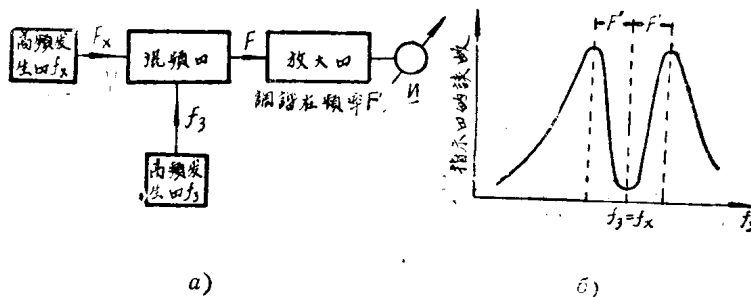


图 11-12 a) 用零拍法比较两个射频频率的方框图
b) a图中指示器N的读数变化

放大器是调谐在频率 F' 上， f_x 和 f_s 经过混频以后得到差频 F ，这一差频 F 加到放大器上。当差频等于放大器的调谐频率 F' 时，电表 N 读数最大。改变 f_s ，指示器读数发生相应的改变，而当 $f_x = f_s$ 时，指示器读数最小，如图11-12(b)所表示。

用双重差拍法可以大大提高测量频率的精确度，其方框图见11-13。此时比较频率不是在零拍点A〔见图11-11(δ)〕而是在B点上。假定音频固定振荡器的频率 $F_1 = 1000$ 赫，则

改变标准频率 f_s ，直到 $|f_x - f_s| = 1000$ 赫时，差频 $|f_x - f_s|$ 和频率 F_1 叠加在线性元件（耳机）上，拍频结果，只听到 1000 赫的音调，如果 $|f_x - f_s|$ 是接近于 1000 赫而尚未等于 1000 赫时，则在耳机上听到 1000 赫的嗡嗡声，嗡嗡发响的频率等于 $\Delta F = |f_x - f_s| - F_1$ ，被测频率 f_x 之值为：

$$f_x = f_{s,b} + F_1$$

或

$$f_x = f'_{s,b} - F_1$$

应用这种比较法的准确度可以达到几分之一赫。

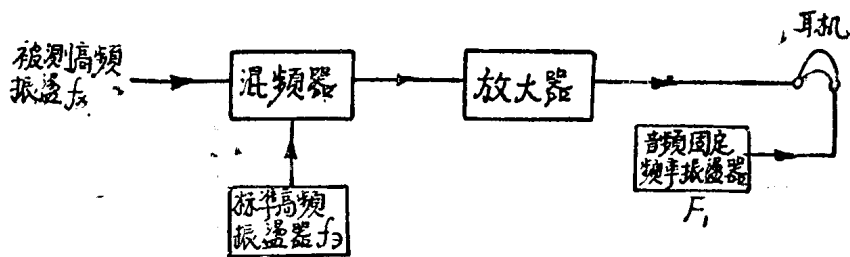


图 11-13 双重差拍法的方框图

(四) 用内插法比较射频频率

在被测频率或标准频率可以连续变化时，上面所讨论的利用零拍法或双重差拍法来比较频率 f_x 和 f_s ，对 f_x 进行测量的方法是方便易行的。在这种情况下，常常可以使上述两个频率彼此相等或者可以使它们之差准确地等于一给定的频率数值。但是在实际上要制造一部频率可以在很宽的范围内平滑地变化的标准发生器是很难的，因此我们通常采用有几个固定的标准频率的发生器，这些固定的标准频率是利用某一标准基频的分频或倍频的办法来得到的。在这种情况下，可以利用内插法来测量不等于任何一个标准频率的频率 f_x 。

采用内插法测量频率时，除了固定标准频率的信号源以外，还必须具有一个辅助的内插本地振荡器，它的频率和它本身调谐电容的刻度盘上的分度成线性关系，图 11-14 示出了测量用的电路图。

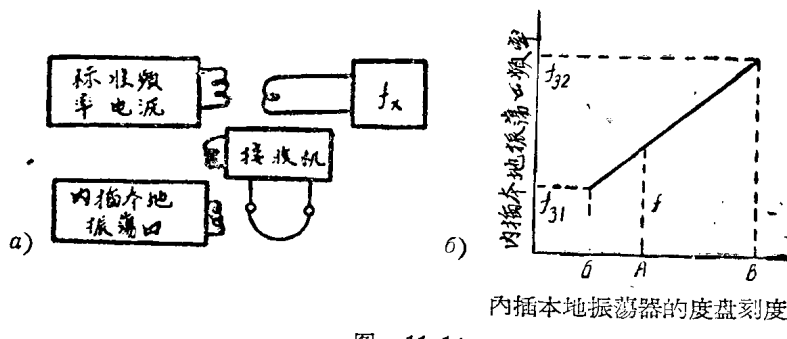


图 11-14

a) 用内插法测量频率的
电路图

b) 用标准频率决定内插本地振荡
器的频率

首先用一个谐振式波长计或者是一个有频率刻度的，在振荡状态下工作的再生式接收机来粗略地确定被测频率 f_x ，然后接通内插本地振荡器，把它的振荡电压和被测频率 f_x 一同

加到一个接收机，并利用零拍法把内插本地振荡器调谐到被测频率 f_x 上。在内插本地振荡器的调谐度盘上记出相应于调谐到频率 f_x 上的那个刻度以后，撤去作用在接收机上的振荡，假定上述读数等于 A 。

接着，接通标准频率振荡器，并把它的振荡和内插本地振荡一起加到接收机上，然后用零拍法将内插本地振荡器调谐到标准频率的两个谐波 f_{s1} 和 f_{s2} ，被测频率 f_x 则位于 f_{s1} 和 f_{s2} 之间。设这时的 $f_{s1} < f_x$, $f_{s2} > f_x$ [图 11-14(δ)] 假定内插本地振荡器在调谐到频率 f_{s1} 时，刻度盘上的刻度为 B ，调谐到频率 f_{s2} 时刻度盘的刻度等于 B 。

因为内插本地振荡器的标准曲线是一根直线，所以它的刻度盘的 $B-B$ 段中，每一分度所代表的频率赫数等于

$$\alpha = \frac{f_{s2} - f_{s1}}{B - B}$$

在这种情况下，被测频率为：

$$f_x = f_{s1} + \alpha(A - B)$$

或

$$f_x = f_{s2} - \alpha(B - A)$$

内接本地振荡器的频率刻度所具有的特性愈接近于直线，与频率 f_x 相邻的两个标准频率之差越小，则 α 的数值亦越小（即内插本地振荡器的度盘上每一分度所具有的频率赫数越小），用内插法测量频率的准确度也就越高。而内插本地振荡器的频率刻度的绝对值准确度并不会影响到测量的结果。

(五) 利用外差式频率计测量频率

最简单的外差式频率计的方框图，如图 11-13 所表示。但为了提高测量的准确度，在外差式频率计中还包括了一个频率稳定度不低于 10^{-5} 左右的晶体振荡器。用这个晶体振荡器可以对已校准的振荡器的刻度上的许多基准点进行频率的校准。

现在以国产的 WCP-1 型外差式频率计为例，其方框图见 11-15(a) 电路图见图 11-15(δ)。

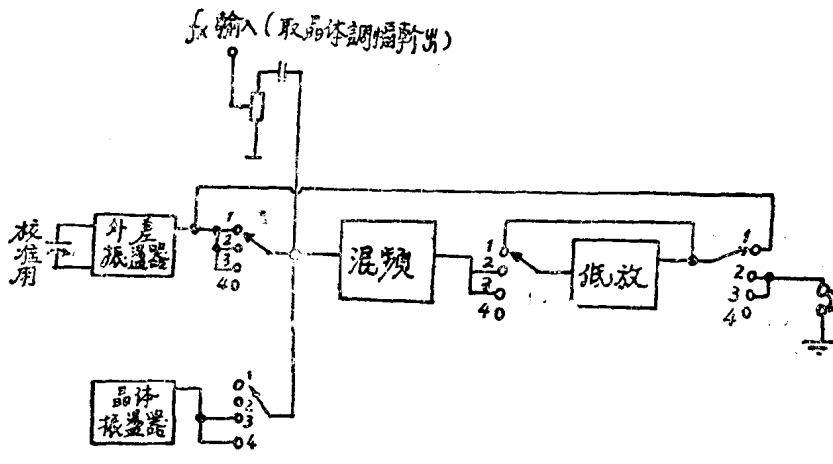


图 11-15a WCP-1 型外差式频率计方框图

WCP-1 型外差式頻率計在頻率自 125 千赫~20 兆 赫範圍內用来測量发射机和接收机的等幅振蕩頻率，可以单独輸出一基頻為 1 兆赫的晶体振蕩頻率，并可以輸出調幅波，是一种精确簡便可靠的仪器。

外差振蕩器是一个 *LC* 高頻振蕩器，共有两个波段：即从 125~250 千赫 和 2~4 兆赫。当开关放在調幅位置时，低頻放大器变成音頻振蕩器，耦合至外差振蕩器作为調幅訊号，使外差振蕩器輸出調幅波。当开关放在測試位置时，被測頻率和外差振蕩器頻率送至混頻器，差頻經過低放到达耳机。

当开关放在校正位置时，用晶体振蕩器校正外差振蕩器頻率。

当开关放在晶体位置时，单独輸出一基頻 1 兆赫的晶体振蕩頻率，此时外差振蕩器，混頻器，低頻放大器均不起作用。

这种外差式頻率計的缺点是可以測量的頻率範圍不大。因为希望頻率計的波段要寬、穩定度高、而頻率又可以連續变化，这是很困难的。要克服这一困难，頻率計內要用两个振蕩器，一个粗測，一个精測，如图 11-16 所示。

这里粗測振蕩器是寬頻段 振蕩器 30~300 兆赫，用来对被測頻率 f_x 进行粗略的測量。而精測振蕩器的頻段很窄（从 3000~3300 千赫），用以作精密測量，以滿足在頻率穩定度方面所提出的要求。

决定被測頻率可用下述方法进行，断开晶体振蕩器和精測振蕩器，利用开关 Π_1 和 Π_2 ，把被測頻率 f_x 和粗測振蕩器的頻率 f_r 的振蕩一同加在第一混頻器上，利用开关 Π_3 把低頻放大器和指示器接在第一混頻器的輸出端上。改变粗測振蕩器的調諧可以得到被測頻率 f_x 和振蕩器頻率 f_r ，或者是它的各次諧波之間的零差頻，使用粗測振蕩器大約可以得到 $\pm 0.3\%$ 左右的測量準確度。

粗測以后，断开被測頻率 f_x ，然后准确地确定得到零拍点时粗測振蕩器的調諧頻率是多少。为此，首先要用晶体振蕩器来校正精測振蕩器的頻率，此时只需要利用开关 Π_4 和 Π_5 ，把精測振蕩器和晶体振蕩器加到第二混頻器上面，又利用开关 Π_3 把低頻放大器和指示器接到第二混頻器的輸出端上，在精測振蕩器的頻率範圍內有晶体振蕩器基頻的 30、31、32、33 次諧波，利用这些諧波来校正精測振蕩器的頻率。校正以后便把晶体振蕩器断开，并利用开关 Π_1 和 Π_4 ，把粗測和精測振蕩器的振蕩加到第一混頻器上，这时又重新把低頻放大器和指示器接到第一混頻器的輸出端上。

改变精測振蕩器的調諧以便达到二振蕩頻率之間的零拍点。然后根据精測振蕩器的刻度来确定出和被測頻率 f_x 相等的粗測振蕩器的頻率，測量的準確度約为 0.003% 。

如果被測頻率高于粗測振蕩器的最大頻率，那么就利用与粗測振蕩器的諧波相比較的方法来測量它。

当頻率达到毫米波段时，还是可以用比較法来进行測量，在原理上也完全一样，不过仪

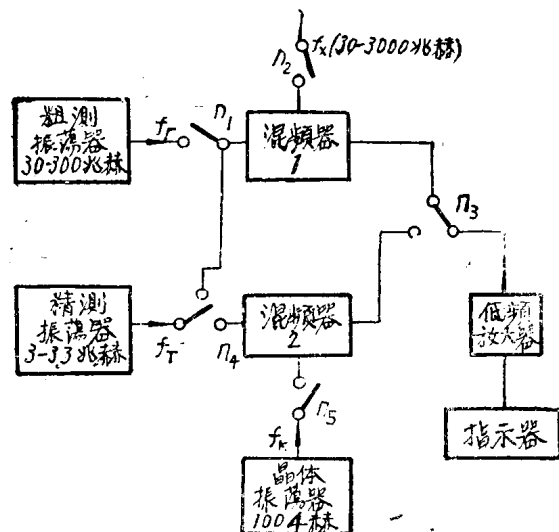


图 11-16 測量 30~300 兆赫的外差式頻率計方框圖

器结构的形式有所改变，这里我們介紹一个測量 25000 兆赫的外差式頻率計，其方框圖如下：

訊号发生器 13 激動波导 7 內的电磁波，晶体檢波器 3 接入同軸線 5，將电磁波从速調管工作頻率約為 3000 兆赫的輔助振蕩器 1 輸入同軸線。輔助振蕩器的頻率用外差式頻率計 2 来測量，其准确度为 $1 \times 10^{-3}\%$ 。輔助振蕩器的第 8 次或第 9 次諧波訊号經過晶体混頻器以后輸送到中頻放大器 10，而中頻放大器輸出端裝有檢波器和微安表。高頻檢波器的直流部份电流由电表 8 显示出来。放大器共有五級，总的放大量为 90 分貝諧振頻率为 45 兆赫，通頻帶寬度和速調管訊号发生器的穩定度有关。在最好的条件下即在电源电压稳定和周圍温度不变的情况下，发生器頻率在每12分钟內的变化等于 $1 \times 10^{-2}\%$ ，即为 2.5 兆赫。

这种外差式頻率計的准确度很高，但由于結構复杂而且笨重，因此使用起来很不方便，因而只有在使用其他測量方法无法保証測量的准确度的情况下，才使用上述的測量方法。

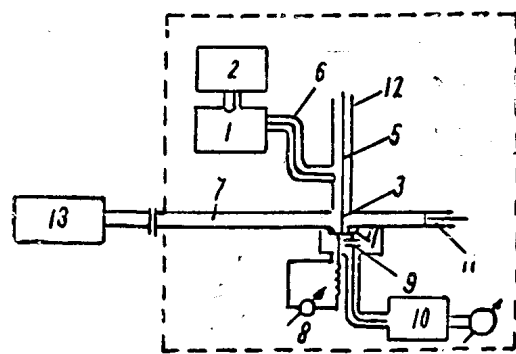


图 11-17 测量頻率約为25000兆赫的外差式頻率計方块图

§ 11-3 諧 振 法

諧振法只是用在射頻和超高頻的頻率測量中，它是利用諧振原理来測量頻率的。波长大于一米以上时可以采用具有集中参数 LC 的諧振原理来測量頻率的吸收式波長計；当波长短于一米时，则采用具有分布参数的長綫式波長計。

(一) 具有集中参数的吸收式波長計

通常这种波長計是由可变电容 C 和几个可調換的綫圈 L 組成振蕩回路，如图 11-18 所示。吸收式波長計測量頻率的原理是：被測頻率 f_x 的訊号源和波長計作電感耦合，改变 L 或 C ，使 LC 回路諧振，而諧振頻率 $f_0 = \text{被測頻率 } f_x$ ，改变 L 就是改变波段，而改变 C 就是在一个波段內連續地改变 LC 回路的諧振頻率，吸收式波長計的刻度就是按 $\frac{1}{2\pi\sqrt{LC}}$ 来刻度。

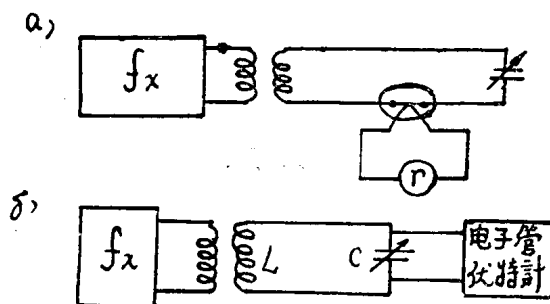


图 11-18 吸收式波長計的电路

a) 用热偶式电流表作为指示器 b) 用电子管伏特計作指示器

吸收式波长計的指示器有两种：

a) 用电流計作为指示器，因为电流表是串在 LC 回路上，故應該选用具有小电阻的电流諧振指示器，虽然可用白熾灯，热綫式电流表，但是一般还是用热偶式电流表，因为它的电阻小，指示灵敏。

b) 用电压表作为电压諧振指示器，亦可用充气管，但它的准确度不高，故一般还是用高輸入阻抗的电子管伏特計作为电压指示器。

如果回路的諧振曲綫比較平坦，则当改变波長計回路的电容时，常常发现很难正确地确定讀数的最大值，在这种情况下可以应用交叉讀数法。

电流 I 取在諧振电流的 $70\sim80\%$ ，由曲綫可以看出此时电容器稍为改变一点，指針就会有显著的偏轉，相对于电流 I_1 、 I_2 时电容器的电容量为 C_1 和 C_2 、频率为 f_1 和 f_2 （見图 11-19），則諧振频率为

$$f_0 = \frac{1}{2}(f_1 + f_2)$$

这个公式是假定諧振曲綫完全对称的情况下計算的，事实上，諧振曲綫是不对称的，

不过虽然不对称，只要相对失諧不很大的話，采用交叉讀数法測量的相对誤差还是比較小的。

另外必須注意，波長計和被測振蕩器的耦合應該选用弱耦合，不然的話，由于波長計所引入的反作用的影响，自激振蕩器的频率就会发生变化，由于牵引現象会使測量結果变得不真实。弱耦合使諧振曲綫相对于其唯一的最大值具有良好的对称性（見图 11-20）。如果耦合很强的話，则波長計的电容器 C 往一个方向和另一个方向改变时，会出现两个急剧下降的最大值，这两个最大值是在不同的 C 值下得到的〔見图 11-20(δ)〕。

測量频率很高时，例如到了米波段分米波段以后，波長計的振蕩回路通常都是做成电容量和电感量能够同时改变的形式如图 11-21。这样就提高了由一个綫圈和电容器所組成的回路所能复盖的频率范围。

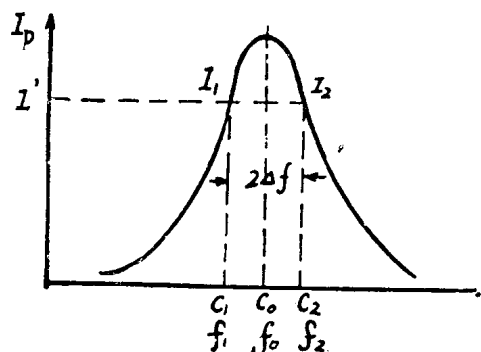


图 11-19

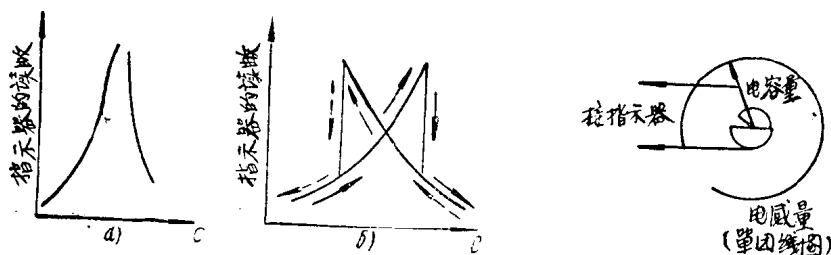


图 11-20 弱耦合和强耦合时的諧振曲綫

图 11-21 分米波諧振式波長計的原理图

具有集中参数的波長計可以工作的频率一直扩展到 1500 兆赫 ($\lambda=20$ 厘米) 左右。这

类波长計的准确度是 $\pm(0.25-1)\%$ ，而在采用交叉讀數法時准确度可达 0.1% 。

(二) 具有線性分布参数的諧振式波長計

在頻率很高的時候，集中參數的振蕩回路衰減很大，諧振曲線比較平坦而不尖銳，因此在頻率很高的頻段內 ($\lambda < 3$ 米)，用具有分布參數的振蕩系統來測量頻率比較適宜。平行雙線式傳輸線就是這種系統的最簡單形式，其概略圖見圖 11-22。

利用耦合線圈 L_1 使雙線式傳輸線和被測波長的訊號源作電感耦合。這時如果頻率很高，則耦合系統也可以由兩根拉緊了的（通常是水平拉緊）並且仔細絕緣了的平行導線組成。具

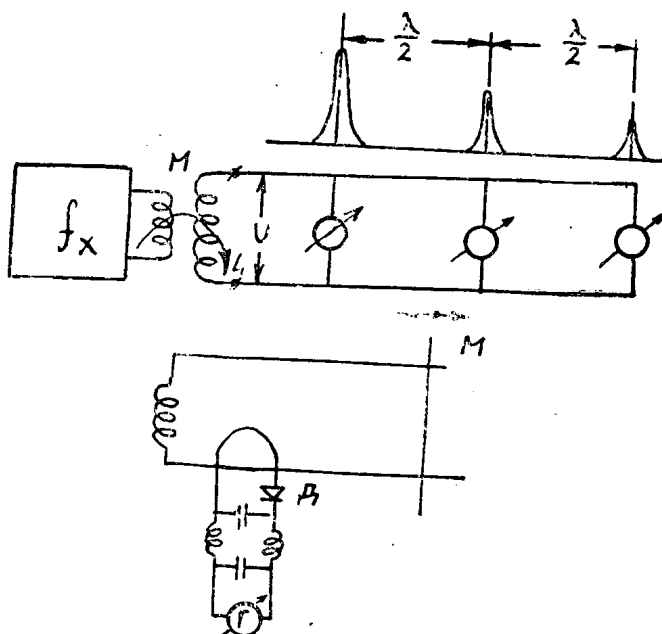


图 11-22 具有平行两綫式傳輸綫段的波長計的概略結構

- a) 仪表可动的;
- b) 指示仪表固定的。

有很小阻抗的熱電式電流測量儀表沿着傳輸線移動，因此可以初步近似地認為傳輸線是短路的。根據傳輸線理論：

$$I_k = \frac{U_1}{Z_0 \sin \alpha l}$$

其中 I_k ——儀表所測得的短路電流；

U_1 ——傳輸線始端的電壓；

l ——從傳輸線始端到短路點的距離；

Z_0 ——傳輸線的波阻抗；

$\alpha = \frac{2\pi}{\lambda}$ ——傳輸線的相位常數。

在這種情況下，儀表讀數的最大值相當於 $\sin \alpha l = 0$ 時的距離 l 。在傳輸線將有許多點滿足這一條件。 $l=0$ 是傳輸線上電流讀數最大的第一點，第二個最大值是在距離傳輸線始端 $\frac{1}{2}\lambda$ 。